

Оригинальные работы

УДК 57.065 : 612.398

О.Н. ДЕМЧУК, Я.Б. БЛЮМ

Институт клеточной биологии и генетической инженерии
НАН Украины, Киев

ФИЛОГЕНЕТИЧЕСКОЕ ДРЕВО БАКТЕРИАЛЬНЫХ И ЭУКАРИОТИЧЕСКИХ FtsZ-БЕЛКОВ НА ОСНОВАНИИ ГОМОЛОГИИ ИХ ПЕРВИЧНЫХ ПОСЛЕДОВАТЕЛЬНОСТЕЙ



Построено филогенетическое древо с использованием последовательностей FtsZ-белков архебактерий, бактерий и эукариот. Произведен анализ относительного расположения отдельных последовательностей и их кластеров, а также их расстояния до гипотетического корня полученного дерева. Продемонстрировано, что почти все последовательности как про-, так и эукариотических FtsZ-белков находятся на расстоянии от 0,3 до 0,8 замен на сайт от гипотетического корня дерева, в то время как тубулины по сравнению с ними удалены от корня на расстояние в 7–8 раз большее. Это подтверждает слабую аминокислотную гомологию между двумя данными группами цитоскелетных белков. Одновременно показано значительное сходство между последовательностями FtsZ-белков цианобактерий и растительных пластид.

© О.Н. ДЕМЧУК, Я.Б. БЛЮМ, 2005

ISSN 0564–3783. Цитология и генетика. 2005. № 4

Введение. Деление клетки является одним из важнейших биологических процессов, в обеспечении которого в клетках эукариот непосредственное участие принимает такой класс специфических белков, как тубулины, состоящие из α - и β -субъединиц [1]. В царстве прокариот у большинства эу- и археобактерий функции тубулинов выполняют высококонсервативные филаментные температурочувствительные Z-белки — FtsZ [2, 3], аналоги которых были найдены также в пластидах водорослей и высших растений [4–8], что является вполне ожидаемым результатом ввиду происхождения этих органелл от цианобактерий. Однако считается, что в митохондриях большинства видов эукариотических организмов молекулы FtsZ отсутствуют, несмотря на их активную роль в делении α -протеобактерий, являющихся предшественниками этих органелл [3, 9, 10]. Тем не менее совсем недавно молекулы FtsZ-белков все-таки были обнаружены в митохондриях красных водорослей *Mallospora splendens* [11, 12] и *Cyanidioschizon melanorae*, а также слизневика *Dictyostelium discoideum* [13].

Известно, что деление митохондрий и хлоропластов осуществляется за счет очень подобных механизмов, предусматривающих взаимодействие FtsZ-кольца, динаминовых колец и кольца пластидного/митохондриального деления [14]. В то время как в ходе эволюционирования эукариот эта система осталась высококонсервативной в случае пластид, у митохондрий постепенно происходила потеря FtsZ-кольца. Очевидно, что поскольку кольцо митохондриального деления может или утеряться, или упроститься, его составные части, вовлеченные в процесс сжимания органеллы, могут быть заменены на неизвестные пока механизмы [15]. Следовательно, эта гипотеза позволяет проводить исследования механизмов деления хлоропластов, основываясь на информации по механизму деления митохондрий и наоборот.

Сравнивая последовательности и структурные особенности про- и эукариотических белков, ответственных за деление как клеток, так и их органелл, следует отметить их довольно значительное структурное сходство [16], несмотря на низкий уровень гомологии первичных последовательностей

[17, 18] и наличие целого ряда отличий в распределении компонентов вторичной структуры и их устойчивости во времени [19]. Элементы этого сходства также распространяются на структурно-функциональные свойства тубулинов и FtsZ: оба типа белков имеют одинаковые механизмы сворачивания (за исключением небольших фрагментов в N- и C-концевых доменах) и связывания нуклеотидов, а также характеризуются ГТФ-зависимой полимеризацией в филаментные структуры [20, 21]. FtsZ-белки и тубулины более тесно связаны с динуклеотид-связывающими белками (белки со сборкой по Россману), такими, как глицеральдегид-3-фосфат-дегидрогеназа [22], чем с классическими ГТФ-азами, однако образуют новое семейство последних [18]. In vivo филаменты тубулина организованы параллельно, тогда как молекулярная организация филаментов FtsZ-белков изучена слабо; в то же время при полимеризации в условиях *in vitro* оба этих белка формируют трубочки и листы из параллельных или антипараллельных протофиламентов [23, 24].

Гомология тех или иных белков, базирующаяся на сходстве их последовательностей и механизмов сборки, предполагает наличие общего предка, но не обязательно одинаковых функций. Однако поскольку FtsZ-белки и тубулины характеризуются наличием общей функции — сборки в протофиламент, последние исследования показали, что прокариотические FtsZ-белки являются структурными гомологами и, возможно, эволюционными предшественниками тубулинов эукариот [16, 17, 25–27]. В частности, это подтверждается особенностями динамики ГТФ-зависимой сборки бактериальных FtsZ-белков в длинные филаменты *in vitro* [28, 29]. Как у тубулинов, так и у FtsZ-белков петля T7 соседней субъединицы в составе протофиламента проникает в активный сайт связывания нуклеотидов и стимулирует ГТФ-азную активность, обусловливая тем самым возможность гидролиза нуклеотида указанными белками только в полимерной форме. Очевидно, наличие таких структурных и функциональных особенностей у обеих групп рассматриваемых нами белков де-

лает невозможным их дважды независимое появление в ходе эволюции [24]. Поэтому исследование эволюционной связи между про- и эукариотическими белками деления является важным этапом в решении проблемы корректной экстраполяции свойств одних белков на другие.

Таким образом, целью настоящей работы было построение филогенетического древа FtsZ-белков на основе секвенированных и описанных в литературе или электронных базах данных первичных последовательностей молекул FtsZ-белков прокариотического, хлоропластного и митохондриального происхождения.

Материалы и методы. Для построения филогенетического древа в работе были использованы последовательности FtsZ-белков архебактерий из родов *Archaeoglobus*, *Halobacterium*, *Methanobacterium*, *Methanococcus*, *Mycoplasma*, *Pyrococcus*, *Thermoplasma*; эубактерий из родов *Acholeplasma*, *Anabaena*, *Anaplasma*, *Bartonella*, *Borrelia*, *Brucella*, *Buchnera*, *Campylobacter*, *Caulobacter*, *Clostridium*, *Corynebacterium*, *Deinococcus*, *Ehrlichia*, *Enterococcus*, *Escherichia*, *Francisella*, *Haemophilus*, *Helicobacter*, *Lactococcus*, *Listeria*, *Mycobacterium*, *Neisseria*, *Pasteurella*, *Prochlorococcus*, *Pseudomonas*, *Rhizobium*, *Rickettsia*, *Salmonella*, *Shewanella*, *Sodalis*, *Staphylococcus*, *Streptococcus*, *Streptomyces*, *Synechococcus* sp., *Synechocystis* sp., *Thermotoga*, *Treponema*, *Vibrio*, *Wigglesworthia*, *Wollbachia* sp., *Xylella*, *Yersinia*, *Zymomonas*; слизевика *Dictyostelium*; водорослей из родов *Chlamydomonas*, *Cyanidioschyzon*, *Cyanidium*, *Guillardia*, *Mallomonas*; мхов из родов *Marchantia* и *Physcomitrella*; покрытосеменных растений из родов *Arabidopsis*, *Gentiana*, *Lilium*, *Nicotiana*, *Oryza*, *Pisum* и *Tagetes*. В качестве стандартов для определения эволюционных дистанций между FtsZ-белками различного происхождения и тубулинами растений были использованы известные последовательности α -, β - и γ -семейств тубулинов из *A. thaliana*. Первичные последовательности FtsZ-белков были получены из электронных баз данных Swiss Prot (sp) и TrEMBL (tr) (<http://us.expasy.org/sprot/sprot-search.html>), а последовательности FtsZ *Anabaena* sp., plastFtsZ1 *Physcomitrella patens*,

plastFtsZ2 *Physcomitrella patens*, plastFtsZ2 *Chlamydomonas reinhardtii*, FtsZ *Chlamydomonas reinhardtii*, plast1FtsZ *Arabidopsis thaliana*, plast2FtsZ *Arabidopsis thaliana*, mitFtsZA *Dictyostelium discoideum* и mitFtsZB *Dictyostelium discoideum* были получены из базы данных Gen Bank (<http://www.ncbi.nlm.nih.gov/>) под кодами U14408, AJ249138, AJ249140, AF449446, AB084236, AY091183, AY050844, AF304356 и AF304441 соответственно. Все последовательности тубулинов получены из базы данных Swiss Prot.

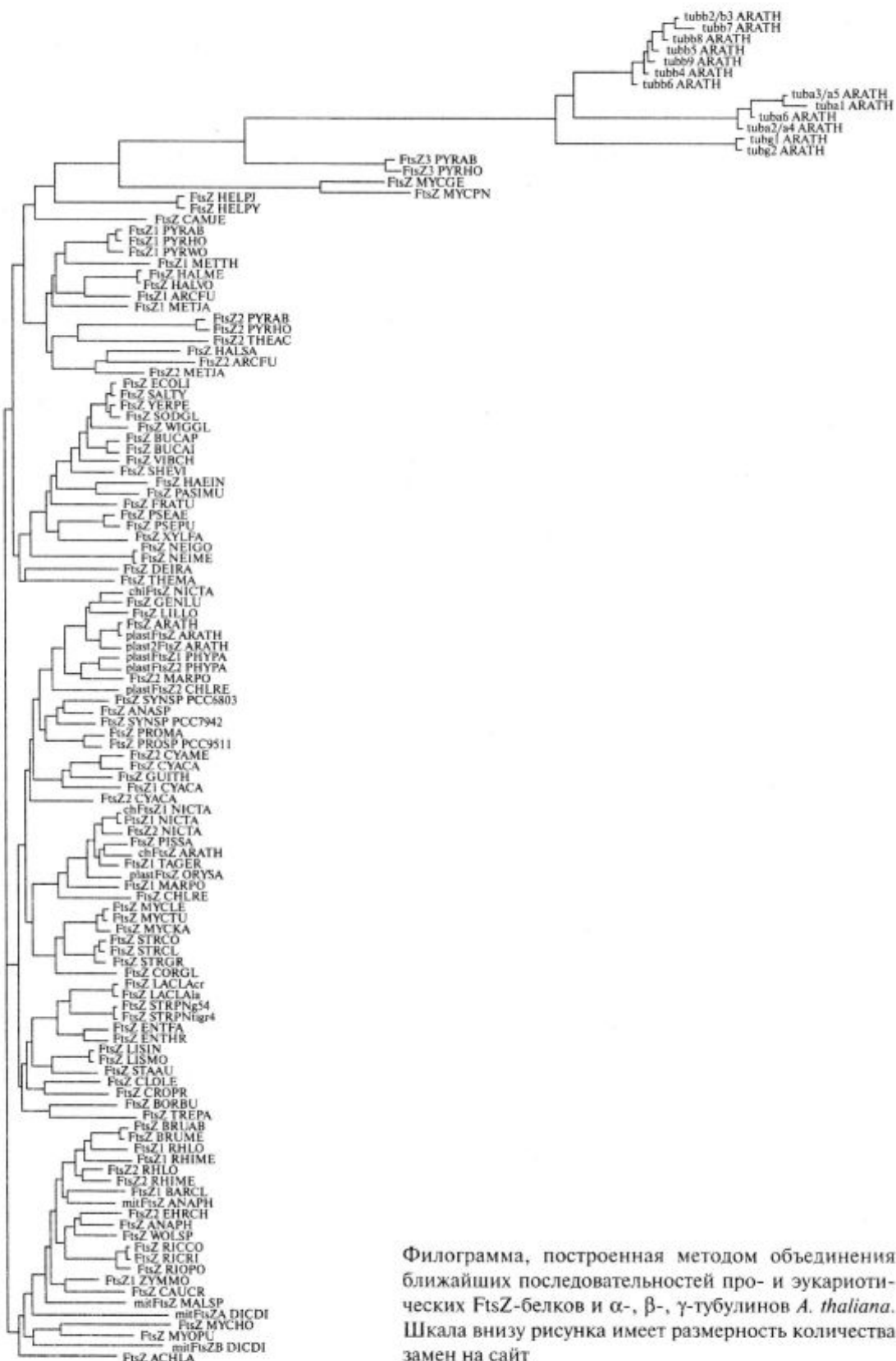
Выравнивание анализируемых белковых последовательностей выполнено с помощью программы ClustalX [30]. Затем с помощью этой же программы было построено их филогенетическое древо методом объединения ближайших последовательностей (Neighbor-Joining метод) [31] с использованием коррекции для сложных замен и бутстреп-теста с числом повторностей 1000. Древо было визуализировано в виде филограммы с помощью программы TreeView (<http://taxonomy.zoology.gla.ac.uk/rod/treeview/>). Представленные в таблице числовые значения расстояния от гипотетического корня дерева до последовательностей получены с помощью программы PhyloDraw 0.82 [32].

Результаты исследований и их обсуждение. Филогенетическое древо, построенное с использованием бактериальных и эукариотических пластидных и митохондриальных FtsZ-белков, а также тубулинов арабидопсиса (рисунок), позволяет сгруппировать все анализируемые последовательности в три больших кластера: в первый кластер попадают последовательности тубулинов, FtsZ-белков архебактерий, β -, γ - и Δ/ϵ -протеобактерий, а также FtsZ-белков из представителей дейнококковой и фирмикутной групп эубактерий. Второй кластер составляют последовательности как цитоплазматических, так и пластидных молекул FtsZ-белков высших растений и водорослей, FtsZ-белков цианобактерий и эубактерий (фирмикуты и спирохеты). В третьем кластере присутствуют последовательности FtsZ-белков α -протеобактерий, двух родов фирмикутных энтеробактерий, а также митохондриальных FtsZ-белков как красных водорослей *M. splendens* и *C. melorae*, так и

слизевика *D. discoideum*. В целом, такое деление на кластеры не противоречит общепринятым взглядам на более тесное сходство белков деления эукариотических органелл с архебактериальными, чем с эубактериальными [33, 34], и на цианобактерии как предшественники хлоропластов [4, 5], а α -протеобактерии — как предшественники митохондрий [10]. Интересным является присутствие в первом кластере последовательностей FtsZ-белков β -, γ -, Δ/ϵ - и ϵ -протеобактерий, тогда как последовательности этих белков из α -протеобактерий составляют основу третьего кластера.

Таким образом, из данных, представленных в таблице, видно, что почти все последовательности FtsZ-белков как про-, так и эукариотического происхождения находятся на расстоянии от гипотетического корня общего филогенетического дерева в пределах от 0,3 до 0,8 замен на сайт, в то время как тубулины по сравнению с ними удалены в 7–8 раз дальше от корня: на расстояние $\sim 4,0 \pm 0,1$ для семейства α -тубулинов, $\sim 3,5 \pm 0,1$ для семейства β -тубулинов и $\sim 3,9 \pm 0,05$ замен на сайт для семейства γ -тубулинов. Тот факт, что используемые в настоящей работе последовательности растительных тубулинов являются типичными представителями трех тубулиновых семейств и обладают высоким уровнем внутрисемейственной гомологии [35], подтверждает слабую аминокислотную гомологию между двумя данными группами цитоскелетных белков [17]. Исключение составляют четыре последовательности FtsZ-белков: FtsZ3 из *Pyrococcus abyssi* и FtsZ3 из *P. horikoshii*, FtsZ из *Mycoplasma genitalium* и FtsZ из *M. pneumoniae*, которые также находятся на значительном расстоянии от общего корня дерева — 1,69571; 1,7227; 1,6474 и 1,76646 замены на сайт соответственно. При этом другие последовательности этих же белков из *P. abyssi* и *P. horikoshii* не выпадают из общей картины расположения на филогенетическом дереве, что верно также и для рода *Mycoplasma*.

Анализируя особенности первичных последовательностей FtsZ-белков из этих двух видов рода *Pyrococcus*, относящихся к первому кластеру, можно отметить и тот интерес-



Филограмма, построенная методом объединения ближайших последовательностей про- и эукариотических FtsZ-белков и α -, β -, γ -тубулинов *A. thaliana*. Шкала внизу рисунка имеет размерность количества замен на сайт

■ Филогенетическое древо бактериальных и эукариотических FtsZ-белков... ■

Расстояния от гипотетического корня филогенетического дерева для последовательностей FtsZ-белков и тубулинов различного происхождения

| Систематическое положение | Обозначение последовательности на рисунке | Видовое название источника последовательности | Расстояние от корня дерева, замен на сайт |
|---------------------------|---|---|---|
| Архебактерии | FtsZ1 ARCFU | <i>Archaeoglobus fulgidus</i> | 0,527880 |
| | FtsZ2 ARCFU | <i>Archaeoglobus fulgidus</i> | 0,823640 |
| | FtsZ HALME | <i>Halobacterium mediterranei</i> | 0,575390 |
| | FtsZ HALSA | <i>Halobacterium salinarium</i> | 0,743770 |
| | FtsZ HALVO | <i>Halobacterium volcanii</i> | 0,555590 |
| | FtsZ1 METTH | <i>Methanobacterium thermoautotrophicus</i> | 0,616290 |
| | FtsZ1 METJA | <i>Methanococcus jannaschii</i> | 0,518180 |
| | FtsZ2 METJA | <i>Methanococcus jannaschii</i> | 0,587910 |
| | FtsZ1 PYRAB | <i>Pyrococcus abyssi</i> | 0,488160 |
| | FtsZ2 PYRAB | <i>Pyrococcus abyssi</i> | 0,856570 |
| | FtsZ3 PYRAB | <i>Pyrococcus abyssi</i> | 1,695710 |
| | FtsZ1 PYRHO | <i>Pyrococcus horikoshii</i> | 0,487360 |
| | FtsZ2 PYRHO | <i>Pyrococcus horikoshii</i> | 0,877500 |
| | FtsZ3 PYRHO | <i>Pyrococcus horikoshii</i> | 1,722700 |
| | FtsZ1 PYRWO | <i>Pyrococcus woesei</i> | 0,496910 |
| | FtsZ THEAC | <i>Thermoplasma acidophilum</i> | 0,870970 |
| Эубактерии | | | |
| α -протеобактерии | FtsZ ANAPH | <i>Anaplasma phagocytophilum</i> | 0,440350 |
| | FtsZ1 BARCL | <i>Bartonella clarridgeiae</i> | 0,494460 |
| | FtsZ BRUAB | <i>Brucella abortus</i> | 0,502130 |
| | FtsZ BRUME | <i>Brucella melitensis</i> | 0,480720 |
| | FtsZ1 CAUCR | <i>Caulobacter crescentus</i> | 0,489090 |
| | FtsZ EHRCH | <i>Ehrlichia chaffeensis</i> | 0,475480 |
| | FtsZ RICCO | <i>Rickettsia conorii</i> | 0,505200 |
| | FtsZ RICPO | <i>Rickettsia prowazekii</i> | 0,516930 |
| | FtsZ RICRI | <i>Rickettsia rickettsii</i> | 0,504770 |
| | FtsZ1 RHIL0 | <i>Rhizobium loti</i> | 0,494860 |
| | FtsZ2 RHIL0 | <i>Rhizobium loti</i> | 0,392530 |
| | FtsZ1 RHIME | <i>Rhizobium meliloti</i> | 0,523230 |
| | FtsZ2 RHIME | <i>Rhizobium meliloti</i> | 0,430270 |
| | FtsZ WOLSP | <i>Wolbachia sp.</i> | 0,457100 |
| | FtsZ1 ZYMMO | <i>Zymomonas mobilis</i> | 0,369850 |
| | | | |
| β -протеобактерии | FtsZ NEIGO | <i>Neisseria meningitidis</i> | 0,549510 |
| | FtsZ NEIME | <i>Neisseria gonorrhoeae</i> | 0,542460 |
| | FtsZ BUCAP | <i>Buchnera aphidicola</i> (подвид <i>S. graminum</i>) | 0,472480 |
| | FtsZ BUCAI | <i>Buchnera aphidicola</i> (подвид <i>A. pisum</i>) | 0,471670 |
| γ -протеобактерии | FtsZ ECOLI | <i>Escherichia coli</i> | 0,449460 |
| | FtsZ FRATU | <i>Francisella tularensis</i> | 0,463770 |
| | FtsZ HAEIN | <i>Haemophilus influenzae</i> | 0,601180 |
| | FtsZ PASMU | <i>Pasteurella multocida</i> | 0,567870 |
| | FtsZ PSEAE | <i>Pseudomonas aeruginosa</i> | 0,453450 |
| | FtsZ PSEPU | <i>Pseudomonas putida</i> | 0,479340 |
| | FtsZ SALTY | <i>Salmonella typhi</i> | 0,452130 |
| | FtsZ SHEVI | <i>Shewanella violacea</i> | 0,449070 |
| | FtsZ SODGL | <i>Sodalis glossinidius</i> | 0,472110 |
| | FtsZ VIBCH | <i>Vibrio cholerae</i> | 0,477390 |
| | FtsZ WIGGL | <i>Wigglesworthia glossinidiae</i> | 0,512830 |
| | FtsZ XYLFA | <i>Xylella fastidiosa</i> | 0,511990 |
| | FtsZ YERPE | <i>Yersinia pestis</i> | 0,445340 |

Продолжение таблицы

| Систематическое положение | Обозначение последовательности на рисунке | Видовое название источника последовательности | Расстояние от корня древа, замен на сайт |
|---------------------------|---|---|--|
| δ/ε-протеобактерии | FtsZ CAMJE | <i>Campylobacter jejuni</i> | 0,597930 |
| | FtsZ HELPJ | <i>Helicobacter pylori</i> J99 | 0,755970 |
| | FtsZ HELPY | <i>Helicobacter pylori</i> | 0,755870 |
| Фирмикуты | FtsZ ACHLA | <i>Acholeplasma laidlawii</i> | 0,455950 |
| | FtsZ CLOLE | <i>Clostridium lentocellum</i> | 0,382550 |
| | FtsZ CLOPR | <i>Clostridium propionicum</i> | 0,418870 |
| | FtsZ CORGL | <i>Corynebacterium glutamicum</i> | 0,464750 |
| | FtsZ ENTFA | <i>Enterococcus faecalis</i> | 0,420740 |
| | FtsZ ENTHR | <i>Enterococcus hirae</i> | 0,420310 |
| | FtsZ LACLAcr | <i>Lactococcus lactis</i> (подвид <i>cremoris</i>) | 0,460430 |
| | FtsZ LACLAla | <i>Lactococcus lactis</i> (подвид <i>lactis</i>) | 0,446810 |
| | FtsZ LISIN | <i>Listeria innocua</i> | 0,346340 |
| | FtsZ LISMO | <i>Listeria monocytogenes</i> | 0,346190 |
| | FtsZ MYCKA | <i>Mycobacterium kansasii</i> | 0,431920 |
| | FtsZ MYCLE | <i>Mycobacterium leprae</i> | 0,422060 |
| | FtsZ MYCTU | <i>Mycobacterium tuberculosis</i> | 0,415270 |
| | FtsZ MYCGE | <i>Mycoplasma genitalium</i> | 1,647400 |
| | FtsZ MYCHO | <i>Mycoplasma hominis</i> | 0,691640 |
| | FtsZ MYCPN | <i>Mycoplasma pneumoniae</i> | 1,766460 |
| | FtsZ MYCPU | <i>Mycoplasma pulmonis</i> | 0,527630 |
| | FtsZ STAAU | <i>Staphylococcus aureus</i> | 0,375650 |
| Спирохетовые | FtsZ STRPNg54 | <i>Streptococcus pneumoniae</i> | 0,452470 |
| | FtsZ STRPNTigr4 | <i>Streptococcus pneumoniae</i> | 0,452580 |
| Терматого/дейнококковые | FtsZ STRCO | <i>Streptomyces coelicolor</i> | 0,403760 |
| | FtsZ STRCL | <i>Streptomyces collinus</i> | 0,405470 |
| Цианобактерии | FtsZ STRGR | <i>Streptomyces griseus</i> | 0,411220 |
| | FtsZ BORBU | <i>Borrelia burgdorferi</i> | 0,459950 |
| | FtsZ TREPA | <i>Treponema pallidum</i> | 0,545940 |
| | FtsZ DEIRA | <i>Deinococcus radiodurans</i> | 0,471540 |
| Мхи | FtsZ THEMA | <i>Thermotoga maritima</i> | 0,452840 |
| | FtsZ ANASP | <i>Anabaena</i> sp. | 0,351410 |
| | FtsZ PROMA | <i>Prochlorococcus marinus</i> | 0,402040 |
| | FtsZ PROSPCC9511 | <i>Prochlorococcus</i> sp. | 0,396010 |
| | FtsZ SYNSPPCC7942 | <i>Synechococcus</i> sp. | 0,367740 |
| Водоросли | FtsZ SYNSPPCC6803 | <i>Synechocystis</i> sp. | 0,418840 |
| | FtsZ CHLRE | <i>Chlamydomonas reinhardtii</i> | 0,524480 |
| | plast FtsZ2 CHLRE | <i>Chlamydomonas reinhardtii</i> | 0,473710 |
| | FtsZ2 CYAME | <i>Cyanidioschyzon merolae</i> | 0,490530 |
| | mit FtsZ CYAME | <i>Cyanidioschyzon merolae</i> | 0,449260 |
| | FtsZ CYACA | <i>Cyanidium caldarium</i> | 0,490630 |
| | FtsZ1 CYACA | <i>Cyanidium caldarium</i> | 0,481800 |
| | FtsZ2 CYACA | <i>Cyanidium caldarium</i> | 0,354430 |
| | FtsZ GUITH | <i>Guillardia theta</i> | 0,442120 |
| | mit FtsZ MALSP | <i>Mallomonas splendens</i> | 0,493080 |
| | FtsZ1 MARPO | <i>Marchantia polymorpha</i> | 0,468350 |
| | FtsZ2 MARPO | <i>Marchantia polymorpha</i> | 0,493690 |
| | plast FtsZ1 PHYPA | <i>Physcomitrella patens</i> | 0,470020 |
| | plast FtsZ2 PHYPA | <i>Physcomitrella patens</i> | 0,483930 |

| Систематическое положение | Обозначение последовательности на рисунке | Видовое название источника последовательности | Расстояние от корня дерева, замен на сайт |
|---------------------------|---|---|---|
| Покрытосеменные растения | tuba1 ARATH | <i>Arabidopsis thaliana</i> | 4,208090 |
| | tuba2/a4 ARATH | <i>Arabidopsis thaliana</i> | 3,851070 |
| | tuba6 ARATH | <i>Arabidopsis thaliana</i> | 3,873970 |
| | tuba3/a5 ARATH | <i>Arabidopsis thaliana</i> | 4,097850 |
| | tubb2/b3 ARATH | <i>Arabidopsis thaliana</i> | 3,583190 |
| | tubb4 ARATH | <i>Arabidopsis thaliana</i> | 3,493430 |
| | tubb5 ARATH | <i>Arabidopsis thaliana</i> | 3,542470 |
| | tubb6 ARATH | <i>Arabidopsis thaliana</i> | 3,443160 |
| | tubb7 ARATH | <i>Arabidopsis thaliana</i> | 3,717340 |
| | tubb8 ARATH | <i>Arabidopsis thaliana</i> | 3,557240 |
| | tubb9 ARATH | <i>Arabidopsis thaliana</i> | 3,537610 |
| | tubg1 ARATH | <i>Arabidopsis thaliana</i> | 3,913550 |
| | tubg2 ARATH | <i>Arabidopsis thaliana</i> | 3,903340 |
| | chlFtsZ ARATH | <i>Arabidopsis thaliana</i> | 0,522680 |
| | FtsZ ARATH | <i>Arabidopsis thaliana</i> | 0,477180 |
| | plastFtsZ ARATH | <i>Arabidopsis thaliana</i> | 0,484570 |
| | plast2FtsZ ARATH | <i>Arabidopsis thaliana</i> | 0,477000 |
| | FtsZ GENLU | <i>Gentiana lutea</i> | 0,484970 |
| | FtsZ LILLO | <i>Lilium longiflorum</i> | 0,501760 |
| | plastFtsZ ORYSA | <i>Oryza sativa</i> | 0,483130 |
| | chlFtsZ1 NICTA | <i>Nicotiana tabacum</i> | 0,469280 |
| | FtsZ1 NICTA | <i>Nicotiana tabacum</i> | 0,471220 |
| | FtsZ2 NICTA | <i>Nicotiana tabacum</i> | 0,485670 |
| | chlFtsZ NICTA | <i>Nicotiana tabacum</i> | 0,482600 |
| | FtsZ PISSA | <i>Pisum sativum</i> | 0,499340 |
| | FtsZ1 TAGER | <i>Tagetes erecta</i> | 0,469610 |
| Слизевик | mitFtsZA DICDI | <i>Dictyostelium discoideum</i> | 0,681750 |
| | mitFtsZB DICDI | <i>Dictyostelium discoideum</i> | 0,660700 |

Примечание. Последовательности сгруппированы по филогенетическому принципу. Chl-, mit-, plast-последовательности обозначены в базе данных как хлоропластные, митохондриальные и пластидные соответственно; tuba — α-тубулин, tubb — β-тубулин, tubg — γ-тубулин; ст и ла — подвиды *cremoris* и *pisum* вида *Lactococcus lactis*; g54 и tigr4 — штаммы *Streptococcus pneumoniae*; PCC9511, PCC7942 и PCC6803 — штаммы *Prochlorococcus sp.*, *Synechococcus sp.* и *Synechocystis sp.* соответственно.

ный факт, что они образуют три миниподкластера, содержащих по последовательности каждого вида: FtsZ1 *P. abyssi*/FtsZ1 *P. horikoshii*, FtsZ2 *P. abyssi*/FtsZ2 *P. horikoshii* и FtsZ3 *P. abyssi*/FtsZ3 *P. horikoshii* (рисунок). Напрашивается предположение, что указанные виды бактерий имеют несколько изотипов FtsZ-белков и отличие между изотипами у них больше межвидового различия каждого члена пары (что, возможно, связано с разными функциями, выполняемыми каждым изотипом). Все это свидетельствует о значительном преобладании у данных FtsZ-белков межвидовых отличий над внут-

ривидовыми. Для тубулинов наблюдается противоположная картина — изотипы тубулинов одного семейства из разных видов более сходны между собой, чем с последовательностями тубулинов других семейств своего вида (данные не представлены). Иными словами, среди указанных FtsZ-белков нельзя выделить отдельные семейства, как в случае с тубулинами, а только их изотипы.

Это невозможно сделать и по причине наличия одного-единственного гена FtsZ-белка в подавляющем большинстве видов эубактерий. Вместе с тем, хотя все эубактерии

имеют по одному FtsZ-гену, растения же располагают по крайней мере четырьмя разными FtsZ-генами, принадлежащими к двум различным семействам генов, что свидетельствует о более комплексной роли растительных FtsZ-белков [7, 36]. Однако здесь есть интересное исключение: у двух видов α -протеобактерий рода *Rhizobium*, *R. loti* и *R. meliloti* обнаружено по два FtsZ-гена, кодирующих разные изотипы этих белков. Группируются они так же, как и описанные выше последовательности рода пирококкус: FtsZ2 *R. loti* и FtsZ2 *R. meliloti* образуют свой отдельный подкластер, тогда как FtsZ1-белки данных видов бактерий менее схожи между собой (рисунок).

Последовательности FtsZ-белков цианобактерий образуют «сердцевину» второго кластера, разбивая эукариотические FtsZ-белки на две группы. Интересно, что одна из этих групп проявляет большее сходство с последовательностями белков из родов *Corynebacterium*, *Mycobacterium* и *Streptomyces*, чем с изотипами FtsZ-белков этих же видов другой группы и последовательностями FtsZ-белков водорослей и цианобактерий.

Митохондриальные же филаментные белки слизевика *D. discoideum* настолько отличны друг от друга, что их нельзя объединить в один кластер. К тому же последовательность В-изотипа FtsZ-белка миксомицета проявляет большее сходство с FtsZ-белками из *Mycoplasma hominis* и *Mycoplasma pulmonis*, чем с α -протеобактериальными последовательностями, и только А-изотип ближе к последним. Впрочем, следует еще раз напомнить об отсутствии митохондриальных FtsZ-белков у большинства исследованных животных организмов и грибов [37].

Митохондриальный FtsZ-белок из красной водоросли *M. splendens* проявляет немноголе высокий уровень сходства со своими бактериальными предшественниками, а последовательность митохондриального FtsZ-белка из *Cyanidioschyzon merolae* имеет с последовательностями FtsZ-белков из α -протеобактерий еще гораздо более тесное родство (рисунок). Однако ввиду незначительного наличия секвенированных митохондриальных последовательностей FtsZ-

белков пока не представляется возможным сделать более конкретные выводы относительно степени их гомологии или родства с другими группами цитоскелетных белков, представленных на построенном филогенетическом древе (рисунок).

Таким образом, результаты проведенного анализа показывают очень тесную гомологию первичных последовательностей бактериальных и эукариотических FtsZ-белков, особенно последовательностей из цианобактерий и растительных пластид. Растительные тубулины, в свою очередь, относительно далеки как от прокариотических, так и от эукариотических FtsZ-белков, проявляя чуть более высокую степень родства с архебактериальными представителями белков данного класса. Дальнейшие исследования с использованием большего количества последовательностей тубулинов и пополнение базы данных о последовательностях FtsZ-белков приведут к более полному пониманию как функционирования, так и эволюционных взаимоотношений этих цитоскелетных составляющих.

SUMMARY. In this report we present phylogenetic tree based on the sequences of FtsZ-proteins of Archaea, Bacteria and Eukaryota. We have analyzed the relative positions of separate sequences and their clusters and their distance to the hypothetical root of phylogenetic tree as well. It has been demonstrated that most of prokaryotic and eucaryotic FtsZ-protein sequences are located at the distance of 0.3–0.8 substitutions per site from the hypothetical root of phylogenetic tree. The tubulins are outlined from the root at 7–8 fold larger distances in comparison with the separate sequences. This confirms the slight aminoacid homology between these two groups of cytoskeletal proteins. At the same time the significant similarity between FtsZ-proteins of cyanobacteria and of plant plastids has been shown.

РЕЗЮМЕ. Побудовано філогенетичне дерево з використанням послідовностей FtsZ-білків архебактерій, бактерій та еукаріот. Здійснений аналіз відносного розташування окремих послідовностей та їх кластерів, а також їх відстані від гіпотетичного кореня отриманого дерева. Продемонстровано, що майже всі послідовності як про-, так і еукаріотичних FtsZ-білків знаходяться на відстані від 0,3 до 0,8 замін на сайт від

гіпотетичного кореня дерева, тоді як тубуліни в порівнянні з ними більш віддалені від кореня у 7–8 разів. Це підтверджує слабку амінокислотну гомологію між цими двома групами цитоскелетних білків. Одночасно з цим показано значну подібність між послідовностями FtsZ-білків ціанобактерій та рослинних пластид.

СПИСОК ЛИТЕРАТУРЫ

1. Fosket D.E., Morejhon L.C. Structural and functional organization of tubulin // Ann. Rev. Plant Physiol. Plant Mol. Biol. — 1992. — 43. — P. 201–240.
2. Margolin W. Themes and variations in prokaryotic cell division // FEMS Microbiol. Rev. — 2000. — 24. — P. 531–548.
3. Rothfield L., Justice S., Garcia-Lara J. Bacterial cell division // Annu. Rev. Genet. — 1999. — 33. — P. 423–448.
4. Vitha S., McAndrew R.S., Osteryoung K.W. FtsZ ring formation at the chloroplast division site in plants // J. Cell Biol. — 2001. — 153. — P. 111–119.
5. Stokes K.D., McAndrew R.S., Figueroa R., Vitha S., Osteryoung K.W. Chloroplast division and morphology are differentially affected by overexpression of FtsZ1 and FtsZ2 genes in *Arabidopsis* // Plant Physiol. — 2000. — 124. — P. 1668–1677.
6. McFadden G.I. Skeletons in the closet: how do chloroplasts stay in shape? // J. Cell Biol. — 2000. — 151. — P. F19–F21.
7. Kiessling J., Kruse S., Rensing S.A., Harter K., Decker E.L., Reski R. Visualization of a cytoskeleton-like FtsZ network in chloroplasts // J. Cell Biol. — 2000. — 151. — P. 945–950.
8. Osteryoung K.W., Stokes K.D., Rutherford S.M., Percival A.L., Lee W.Y. Chloroplast division in higher plants requires members of two functionally divergent gene families with homology to bacterial FtsZ // Plant Cell. — 1998. — 10. — P. 1991–2004.
9. Erickson H.P. FtsZ, a tubulin homologue in prokaryote cell division // Trends Cell Biol. — 1997. — 7. — P. 362–367.
10. Lang B.F., Gray M.W., Burger G. Mitochondrial genome evolution and the origin of eukaryotes // Annu. Rev. Genet. — 1999. — 33. — P. 351–397.
11. Beech P.L., Nheu T., Schultz T., Herbert S., Lithgow T., Gilson P.R., McFadden G.I. Mitochondrial FtsZ in a chromophyte alga // Science. — 2000. — 287. — P. 1276–1279.
12. Nishida K., Takahara M., Miyagishima S., Kuroiwa H., Matsuzaki M., Kuroiwa T. Dynamic recruitment of dynamin for final mitochondrial severance in a primitive red alga // Proc. Nat. Acad. Sci. USA. — 2003. — 100, № 4. — P. 2146–2151.
13. Miyagishima S.Y., Nozaki H., Nishida K., Matsuzaki M., Kuroiwa T. Two types of FtsZ proteins in mitochondria and red-lineage chloroplasts: the duplication of FtsZ is implicated in endosymbiosis // J. Mol. Evol. — 2004. — 58. — P. 291–303.
14. Erickson H.P. Dynamin and FtsZ: missing links in mitochondrial and bacterial division // J. Cell Biol. — 2000. — 148. — P. 1103–1105.
15. Miyagishima S.Y., Nishida K., Mori T., Matsuzaki M., Higashiyama T., Kuroiwa H., Kuroiwa T. A plant-specific dynamin related protein forms a ring at the chloroplast division site // Plant Cell. — 2003. — 15. — P. 655–665.
16. Erickson H.P. Atomic structures of tubulin and FtsZ // Trends Cell Biol. — 1998. — 8. — P. 133–137.
17. Pereda J.M. de, Leynadier D., Evangelio J.A., Chason P., Andreu J.M. Tubulin secondary structure analysis, limited proteolysis sites and homology to FtsZ // Biochemistry. — 1996. — 35. — P. 14203–14215.
18. Nogales E., Downing K.H., Amos L.A., Lowe J. Tubulin and FtsZ form a distinct family of GTPases // Nature Struct. Biol. — 1998. — 5. — P. 451–458.
19. Нинорко А.Ю., Блюм Я.Б. Сравнительный анализ вторичной структуры тубулинов и FtsZ-белков // Биополимеры и клетка. — 2001. — 17, № 1. — С. 61–69.
20. Nogales E. A structural view of microtubule dynamics // Cell Mol. Life Sci. — 1999. — 56. — P. 133–142.
21. Mukherjee A., Lutkenhaus J. Dynamic assembly of FtsZ regulated by GTP hydrolysis // EMBO J. — 1998. — 17. — P. 462–469.
22. Gupta R.S., Soltys B.J. Prokaryotic homolog of tubulin? Consideration of FtsZ and glyceraldehyde 3-phosphate dehydrogenase as probable candidates // Biochem. Mol. Bio. Int. — 1996. — 38. — P. 1211–1221.
23. Lowe J., Amos L.A. Helical tubes of FtsZ from *Methanococcus jannaschii* // Biol. Chem. — 2000. — 381. — P. 993–999.
24. Ent F. van den, Amos L., Lowe J. Bacterial ancestry of actin and tubulin // Curr. Opin. Microbiol. — 2001. — 4. — P. 634–638.
25. Erickson H.P. FtsZ, a prokaryotic homolog of tubulin? // Cell. — 1995. — 80. — P. 367–370.
26. Erickson H.P., Taylor D.W., Taylor K.A., Bramhill D. Bacterial cell division protein FtsZ assembles into protofilament sheets and minirings, structural homologs of tubulin polymers // Proc. Nat. Acad. Sci. USA. — 1996. — 93. — P. 519–523.

27. Lowe J., Amos L.A. Crystal structure of the bacterial cell-division protein FtsZ // *Nature*. — 1998. — **391**. — P. 203—206.
 28. Bramhill D. Bacterial cell division // *Annu. Rev. Cell. Dev. Biol.* — 1997. — **13**. — P. 395—424.
 29. Yu X.-C., Margolin W. Ca²⁺-mediated GTP-dependent dynamic assembly of bacterial cell division protein FtsZ into asters and polymer networks in vitro // *EMBO J.* — 1997. — **16**. — P. 5455—5463.
 30. Thompson J.D., Gibson T.J., Plewniak F., Jeanmougin F., Higgins D.G. The ClustalX windows interface: flexible strategies for multiple sequence alignment aided by quality analysis tools // *Nucl. Acids Res.* — 1997. — **24**. — P. 4876—4882.
 31. Saitou N., Nei M. The neighbor-joining method: a new method for reconstructing phylogenetic trees // *Mol. Biol. Evol.* — 1987. — **4**. — P. 406—425.
 32. Choi J-H., Jung H-Y., Kim H-S., Cho H-G. PhyloDraw: a phylogenetic tree drawing system // *Bioinformatics. Appl. Note*. — 2000. — **16**, № 11. — P. 1056—1058.
 33. Baumann P., Jackson S.P. An archaeabacterial homologue of the essential eubacterial cell division protein FtsZ // *Proc. Nat. Acad. Sci. USA*. — 1996. — **93**. — P. 6726—6730.
 34. Margolin W., Wang R., Kumar M. Isolation of an ftsZ homolog from the archaeabacterium *Halobacterium salinarium*: Implications for the evolution of FtsZ and tubulin // *J. Bacteriol.* — 1996. — **178**. — P. 1320—1327.
 35. Демчук О.Н., Блюм Я.Б. Построение филогенетического дерева растительных тубулинов на основании гомологии их белковых последовательностей // Цитология и генетика. — 2005. — **39**, № 2. — С. 3—9.
 36. Reski R. Rings and networks: the amazing complexity of FtsZ in chloroplasts // *Trends Plant Sci.* — 2002. — **7**. — P. 103—105.
 37. Osteryoung K.W. Organelle fission. Crossing the evolutionary divide // *Plant Physiol.* — 2000. — **123**. — P. 1213—1216.

Поступила 18.01.05